

酸化と吸着を分離した活性汚泥法の数理モデル

国立公衆衛生院 衛生工学部 南部 祐一

1. はじめに

活性汚泥によるBOD除去は酸化と吸着(吸収)によつて行なわれ、その機構の解明に関しては次の2つの手法がとられてきたと考えられる。

オーナーはMichaelis-Menten式を基礎とする解析であり、ここでは酸化と吸着によるBOD除去を統括し、一つの反応速度で取り扱つてゐる。

オニイチは吸着に重きを置いた解析であり、活性汚泥を單純な吸着剤と仮想し、従来の吸着理論の応用を試みている。

ところで、活性汚泥の吸着能力は活性汚泥のよろな化学吸着能と異なり、自家再生される。また、この自家再生は活性汚泥の新陳代謝に關係するものであるから、BOD除去機構と理論的に対応する際にはオニイチ手法は不十分であり、酸化と吸着を表裏一体として取り扱う必要がある。一方、酸化と吸着によるBOD除去の形態は本質的に相違しており、前者が分解や同化といつたようにBOD物質そのものを変化させるに對し、後者は汚水から活性汚泥へBOD物質をそのままの形で移行させようものである。したがつて、活性汚泥法とオーナーの生物化学的反応系における物質の収支や移動を取り扱う際にはオーナーの手法のよろと形態が異なる二つの作用を明確に区別しなければ、現象の把握が最もまで欠くことになると思う。

以上の理由から本研究では汚水からのBOD除去を酸化と吸着に分離して取り扱つてみた。ただし、ここで酸化あるいは吸着といつても、これらを分離、定量するところが困難であるので、実際上は、測定可能な他の実験データから推定しなくてはならない。したがつて、得られた反応速度係数は最終主義での酸化ならびに吸着の速度係数ではなくて、酸化、吸着が主体による反応速度係数と理解すべきである。

また、前報¹⁾と同様に、汚水中に含まれて反応系内に供給される栄養有機物も活性汚泥も、ともにBOD物質とみて、これの活性汚泥處理過程における運動に注目し、解析を進めてみた。

2. エアレーションタンク内における酸化と吸着

前報で報告したよろく、エアレーションタンク内における総BOD量の時間的変化は次のよろと表力される。

$$\frac{d(LQ+R\beta)}{dt} = -\bar{K}(LQ+R\beta) \quad (2-1)$$

ここで、Lは汚水中BOD物質濃度、Rは活性汚泥中BOD物質濃度、Qは流入汚水量、 β は返送汚泥量、tは時間、 \bar{K} は総BODの減少速度係数である。

式(2-1)は汚水と活性汚泥を総合した場合の式であるが、次に汚水および活性汚泥のそれそれにつれてのBOD物質量の時間的変化に注目してみる。この場合、汚水と活性汚泥に対する2式を加算す

れば、式(2-1)と一致しなければならないし、また、最初に述べたように、酸化と吸着による変化を分離する必要がある。これらを考慮し、汚水につけては式(2-2)、活性汚泥につけては式(2-3)を考えてみた。

$$\frac{d(LQ)}{dt} = -(\bar{K} + K_b)LQ \quad (2-2)$$

$$\frac{d(RB)}{dt} = -\bar{K}RB + K_bLQ \quad (2-3)$$

式(2-2)、(2-3)における K_b は吸着を主体とするBOD除去速度係数である。また、酸化速度係数としては式(2-1)の \bar{K} をそのまま流用していい。 \bar{K} は酸化速度係数にとつてはこれまで濃密性を欠くかも知れないが、生物酸化によるBODの減少速度が非常に小さいので、ここでは汚水および活性汚泥においてBOD物質の酸化速度の相違まで考慮しないことにした。

式(2-2)～(2-3)中の \bar{K} および K_b を求めるために次の実験を行なつた。

実験装置は図-2-1に示すように、エアレーションタンクおよび沈殿池兼用の円筒槽(60l容量)，運転に必要な電気機器一式(タイマー，電磁弁，電極等)，人工汚水給水用ポンプ，ブロアーおよび汚水貯留タンク(60l容量)からなってい。

本装置はエアレーション時間，沈殿時間および排污返送量が正確に測定できるように回分方式で運転されるので、ピストン流型エアレーションタンク内におけるBOD除去反応が再現される。

本装置のエアレーション時間ならびに沈殿時間はタイマーによつて任意に与えられる。走行時間をエアレーションが終ると、ブロアーが止り、沈殿が始まる。所要の沈殿時間が満足すれば、直ちに排水管を止めると電磁弁が閉じ、上澄水が流れる。この際、排水管の流出水位以上に増加した活性汚泥は余剰汚泥として上澄水とともに反応槽から排除される。こうして常に一定量の活性汚泥が反応槽内に存在するよう自動的に調節される。なお、排水管の位置は3ヶ所に変えられるようになつており、排水管をさし換えれば汚泥返送比を変化させることができる。水位が排水管の流出水位まで下降すれば、電磁弁が閉じ、新らしい人工汚水が所定量供給され、エアレーションが始まる。以後、同様の操作が連続して、自動的にくり返される。

グルコースまたはグルタミン酸ソーダのそれぞれ等量に K_2HPO_4 ， KH_2PO_4 を少量加えて調整した人工汚水を用い、表-2-1に示す供給人工汚水濃度、エアレーション時間、汚泥返送比で実験を行なつた。

図-2-2は実験結果の一例であり、エアレーション終了直前の混合液BOD(MLBOD)の時間変化を

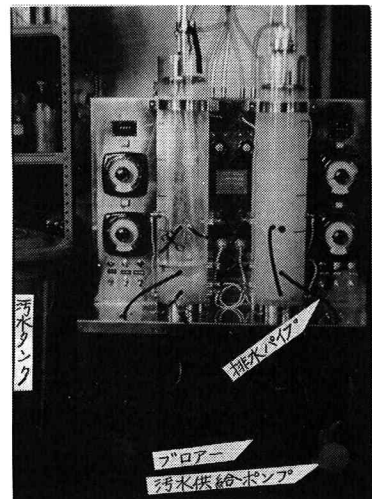


図-2-1 実験装置

木すが、2ヶ月目ぐらりからようやく活性汚泥の性状が安定したこと認められ。このほか、処理水のBOD₅、SV、MLSS等を測定していく。

BOD負荷を高くした運転では活性汚泥の生物相が変化し、写真-2-1に示すよなカビが発生してくる。そのまま運転を続けると、遂には大部分

がカビとなり、SVIが115じ

ましく低下する同時に、カビが集塊になって排水管では排除できなくなる。しかし、この状態は容易に沈殿分離されるので、BOD除去率はほとんど低下しない。

従来、活性汚泥法の運転条件はゾーン"レア"の正常増殖を中心に考えられてきた。また、例えば糸状菌が発生するなど、生物相が変化した場合にはバルキンングが生じていて、ゾーン"レア"が優占する生物相に戻す努力が挙げられてきた。バルキンングが発生すれば、沈殿分離や汚泥返送がうまくいかなくな

表-2-1 実験条件および結果

実験番号	供給汚水 平均BOD (mg/l)	汚泥返送比	エアレーション時間 (時)	活性汚泥性状	R_i/L_i	R_i (mg/l)
1	160	0.265	23.5	良好	14.6	2,340
2	" "	0.260	11.5	" "	20.8	3,330
3		0.240	5.5		27.7	4,430
4		約0.25	2.5	カビ優勢 (35)	(5,600)	
5	" "	約0.125	5.5		(60)	(9,600)
6	640	" "	3.0		(70)	(44,800)
7	80	" "	"	" "	(70)	(5,600)
8	"	" "	5.5	" "	(60)	(4,800)

注: ()内の数字は推定値

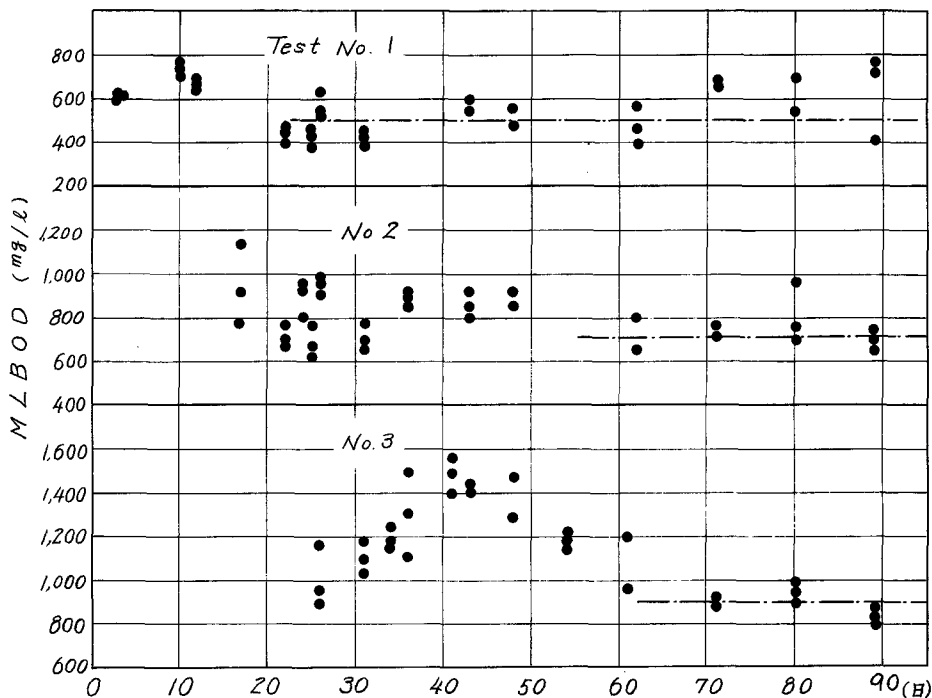


図-2-2 エアレーション終了直前のMLBOD 時変化

り、本実験では余剰汚泥の排除が不可能になつてゐるが、この場合、もし汚泥返送の技術的支障のみが問題にあれば、その解決は不可能ではないだろう。したがつて、汚水処理生物としてスーグーレアにこだわらなければ、別の生物を利用してより高能率の処理が可能になるかも知れない。

こうした新しい問題につ

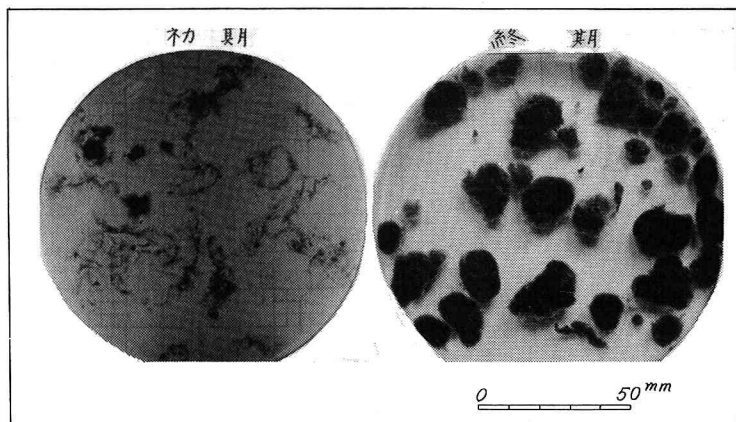


写真-2.1 高負荷運転で発生したカセイ

これは今後さらに検討していきたいと考えているが、本研究においてはスーグーレアを主体とする生物処理に限定し、生物相が変化したことは現行の施設では処理できないと立場から考察を進めていきたい。

図-2.3 によると、流入汚水BODを L_i 、返送汚泥BODを R_i 、処理水BODを L_e 、エアレーション時間 T 、余剰汚泥量をひとすれれば、式(2-1)を積分して次式が得られる。

$$L_e(Q-v) + R_i(\gamma + v) = (L_i Q + R_i \gamma) e^{-\bar{K}T} \quad (2-4)$$

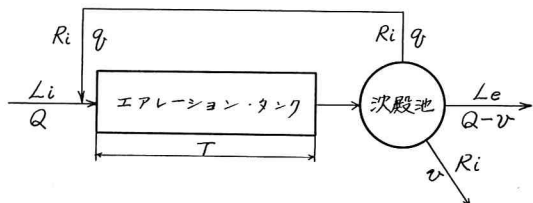


図-2.3 記号を示す略図

ここで、エアレーション開始時および終了時の反応槽内総BOD量が測定されており、これを用いて \bar{K} を計算すると、 \bar{K} もしくは K_b (10を底とする)が計算される。

さらば、式(2-2)を積分すれば、次式のようになり、

$$L_e = L_i \cdot e^{-(\bar{K} + K_b) T} \quad (2-5)$$

L_e, L_i, T を測定し、先に求めた \bar{K} を代入すれば、 K_b もしくは K_b (10を底とする)が求まる。

Eckenfelder²⁾は汚水中のBODが除去される際の速度係数(K')がMLSS(5a)に正比例するとして次式を提案している。

$$L_e = L_i e^{-K' T} \quad (2-6)$$

$$K' = K_e S_a \quad (2-6)'$$

この式によると、汚泥回収量がたりほどBOD除去速度係数が増大するといふ。いま、汚泥返送量がたりといふことはエアレーションタンクに供給される微生物がたりと意味すると單純に解釈

すれば、微生物量はさうよりもむしろ酸素消費量で計測し、BODによって表わす方が精度が高くなるのである。そこで、 S_a 代りに $(R_i g/L_i Q)$ に注目し、これと k_b とを対応させてプロットすると、図-2・4に示すような半対数紙上の直線がえられ、次式が導ける。

$$\bar{R}_i (1/\text{時}) = 0.00134 \cdot 10^{0.128\omega} \quad (2-7)$$

$$k_b (1/\text{時}) = 0.00435 \cdot 10^{0.254\omega} \quad (2-8)$$

$$\text{ただし}, \omega = R_i g / L_i Q$$

SS, BODとともにようく、パラメータは異なるが、式(2-6)', (2-7), (2-8)はいずれも返送汚泥の巨視的浄化能力と BOD除去速度係数との関係と表せる式である。(かしながら式(2-6)' では BOD除去速度係数が浄化能力に比例して一次関数的に増加するに対し、式(2-7), (2-8) では指数関数的に増加していく点は大きな相違である。

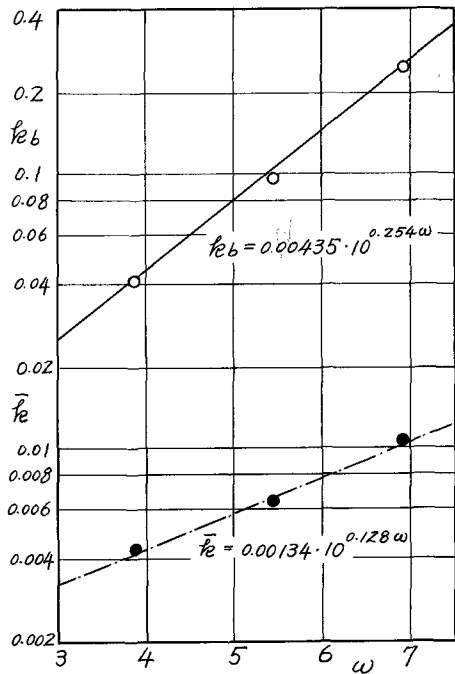


図-2・4 \bar{R}_i , k_b の実測値

3. エアレーション時間および汚泥返送比の浄化効率に及ぼす影響

エアレーションタンク流体總 BOD 量は $(L_i Q + R_i g) e^{-K T}$ であり、式(2-6)によると、これが処理水 BOD 量 $L_i Q$ 、返送汚泥 BOD 量 $R_i g$ 、余剰汚泥 BOD 量 $R_i h$ にわかれる。ここでひが Q 、 g と比較して無視できほど小さな場合について考えてみると、次式がえられる。

$$\begin{aligned} (L_i Q + R_i g) e^{-K T} &= L_i Q + R_i g \\ &= L_i Q e^{-(K+K_b)T} + R_i g \end{aligned} \quad (3-1)$$

$$\therefore \omega (10^{k_b T} - 1) = 1 - 10^{-k_b T} \quad (3-2)$$

$$\text{ただし}, \omega = R_i g / L_i Q$$

式(3-2)中の \bar{R}_i , k_b は、式(2-7), (2-8)によると、 ω のみの実数であるから、結局、式(3-2)は ω と T との関係を表わす式となり、 ω すなわち $R_i g / L_i Q$ はエアレーション時間 T みよつて一義的に決まってくることがわかる。したがつて、 $R_i g$ を巨視的返送汚泥浄化能力とみまと、これは

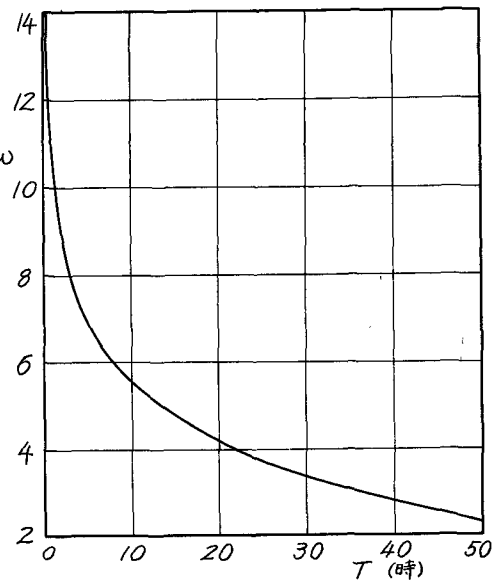


図-3・1 エアレーション時間と ω との関係

BOD 負荷量およびエアレーション時間によって決まり、返送汚泥量には無関係ということになる。

式(2-7), (2-8), (3-2)から ω と T の関係を求めると、図-3-1 のように逆比例の関係にあることがわかるが、エアレーション時間が短い領域における ω の急激な変化は特徴のある傾向である。

いま、エアレーションタンク容積を V 、汚泥返送比を $r = \frac{V}{Q}$ とすると、エアレーション時間および ω は次のようになる。

$$T = \frac{V}{Q+r} = \frac{V}{Q} \cdot \frac{1}{1+r} \quad \therefore \frac{V}{Q} = (1+r)T \quad (3-3)$$

$$\omega = \frac{R_i Q}{L_i Q} = \frac{R_i}{L_i} \cdot r \quad \therefore \frac{R_i}{L_i} = \omega / r \quad (3-4)$$

上式の関係および図-3-1 を用いて R_i/L_i と V/Q の関係を求めてみると、図-3-2 のようになる。

図-3-2 で注目して R_i/L_i は返送汚泥BODと流入汚水BODとの比であり、高負荷運転するや否や高栄養レベルで運転するほど単位量の活性汚泥中に存在する微生物数は増加し、 R_i/L_i が大きくなるはずである。一方、ズーグレアとリフターベン生物が単位量の活性汚泥中に存在する数は物理的に限界があると同時にズーグレアが優占する栄養レベルにも適值があると考えられるので、 R_i/L_i にはそれそれ上限と下限があり、その中间で R_i/L_i があるとズーグレアの正常な生育が期待されるはずである。

図-3-1 では T が極めて短い、超高栄養レベルで運転した場合の計算値も示してあるが、実際にこのような運転を行なえば、生物相が変化するので、計算値のよほ高くなるのは現れてこない。

生物相が変化し、カビが優占して実験条件につき、図-3-2 上の R_i/L_i を求め、()内の数字で表す。図-3-1 に示してある。さらに R_i も計算してあるが、これらの結果をみると、 R_i/L_i が 3.0 以上、また R_i が $4,500 \text{ mg/l}$ 以上になると生物相に変化が生じるようである。ここで、流入汚水BOD (L_i) が高ければ、 R_i/L_i の条件は満足するが、 R_i の限界を越えることが考えられる。また、逆に L_i が低ければ $R_i \leq 4,500 \text{ mg/l}$ となるが、 R_i/L_i の条件が満足されなくなる。(これがつて、正常な活性汚泥を得るために、 R_i/L_i および R_i の二条件を満足するように施設の設計を行なう必要がある。

なお、 R_i/L_i が極端に小さくなれば、活性汚泥の解体が予測され、除臭率の低下が心配される。こうした影響は当然 r と現れてくるはずであるので、 R_i/L_i が非常に小さくなると式(2-9)が成立するか、どうか、今後の実験から確かめていただきたい。

図-3-2 は金額的傾向として、エアレーションタンク容積 (V/Q)、汚泥返送比 ($r = V/Q$) が大きいほど R_i/L_i は小さく、かつ急速しており、また、 V/Q の変化に対する R_i/L_i の変化が極めて大きい傾

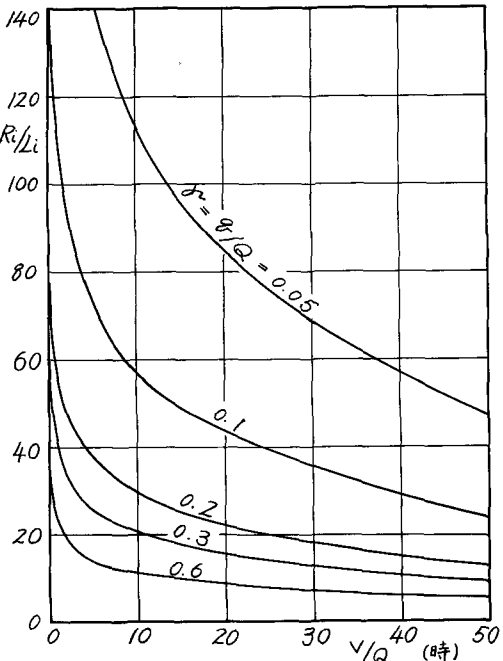


図-3-2 汚泥返送比が変化した場合のエアレーションタンク容積と R_i/L_i の関係

域はそれが小さくほど、大きくなることが認められる。すなは R_i/L_i を大きくとる運転では γ/Q を小さくすることができるが、 γ/Q のわずかな変化により R_i/L_i が急変してあり、したがつて小容量のエアレーションタンクによつて多量の汚水を処理する際には、流入汚水量の変化が活性汚泥の性状に鋭敏に影響し、処理効率の低下やバルキンングの発生が心配される。

われわれは経験的に標準活性汚泥法を確立したが、本法は $T=4\sim 6$ 時間、 $\rho=0.2\sim 0.3$ であり、この条件は、図-3.2 から明らかなように、 R_i/L_i を適正值に保ち、かつそれが流入汚水の質的、量的変動に影響されにくい最小のエアレーションタンク容量を与える条件に一致しており、以上を数値解析の結果と矛盾しない。

図-3.3 は式(2-5)、(2-7)、(2-8) を用いて計算した BOD 除去率 (P) と T との関係

である。 T が小さく領域で P が急上昇してしまが、これは先に検討したよと、 R_i/L_i が無制限大きくでまことに原因があり、実際は、限界の T より短くなれば、生物相が変化する。

図-3.3 の曲線は河川における溶存酸素量垂下曲線と類似しており、 T が大体 60 時間までは T の増加に応じて P は減少し、 T が 60 時間以上になれば、逆の関係となる。 $T \leq 60$ 時間の傾向は、 T の増加による反応時間の延長以上に、 ω の減少によるもので、 R_b によって BOD 除去速度係数の減少が大きく、こうして T の BOD 除去に対する相反する二つの影響が統合された結果と解釈される。 T が 60 時間以上になると、図-3.1 に示すように、 ω は小さくなり、「かほほとんど」変化しなくなって、 ρ は主として反応時間に支配されるようになるから、 T の増加に応じて P は上昇するが、このように超長時間エアレーションの特性は好気性酸化池の净化機構の解明に利用できるのではないかと考えられる。

4. 余剰汚泥量の処理効率に及ぼす影響

$\rho = \gamma Q$ とすれば、 $\omega = R_i \cdot \gamma \cdot L_i \cdot Q$ 、 $\delta = \beta/Q$ を考慮して式(3-1)は次のよう書き改められる。

$$\omega [(\gamma/\rho + 1) e^{-KT} - 1] = 1 - (1 - \gamma) e^{-KbT} \quad (4-1)$$

余剰汚泥量は対象汚水の質および処理施設の操作条件によつて決まつてくとものである。式(4-1)は余剰汚泥量とエアレーション時間、返送汚泥量等、操作条件との関係を表わしてはいるが、余剰汚泥量と対象汚水との関連が不明であるので、式(4-1)のみ直ちにある汚水を処理し

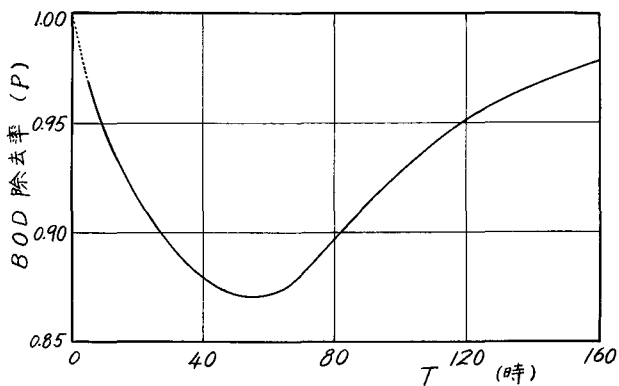


図-3.3 BOD 除去率とエアレーション時間の関係

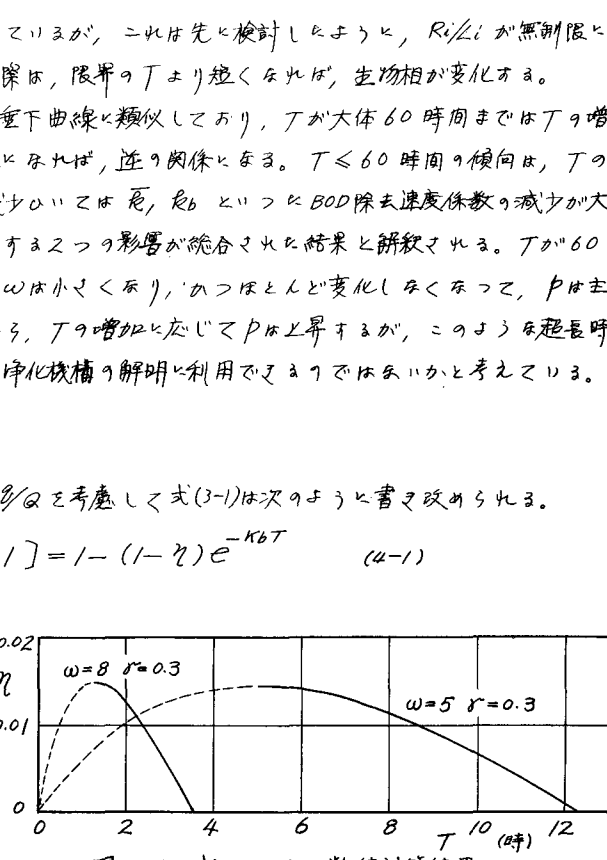


図-4.1 式(4-2)の数値計算結果

場合にどの程度の余剰汚泥量が排出されるかということは定量的に求められない。

このよる定量的推定を行なうには汚泥量の増減について別々式を設立する必要があるが、ここでとりあえり、操作条件のみを焦美で統一し、式(4-1)のもとづく検討を行なつてみる。

式(4-1)は次のように書き改められ、

$$\eta = \frac{(1+w) - (w \cdot 10^{\bar{k}T} + 10^{-\bar{k}bT})}{w/\mu \cdot 10^{\bar{k}T} - 10^{-\bar{k}bT}} \quad (4-2)$$

w を与えると、式(2-7), (2-8)より \bar{k} , $\bar{k}b$ が計算できることから、式(4-2)によつて、 w および η が与えられた場合、この条件を満足して正常運転する必要ある T との関係が求まる。

$w=5$ および $\mu=0.3$ の場合の計算結果を図-4-1に示す。図-4-1において、 T がある限界以上に大きくなると、 η は負になつてくる。また、 η が正の場合には凸形の曲線になり、最大の η が存在し、この最大値より小さくなるには T が対応する。いま、 $w=5$ の曲線について $\eta=0$ を考えてみると、図-4-1より T の値として 0.5 よび 1.3 時間が求まる。ところで、 $\eta=0$ であれば、式(3-2)が成立するので、これを $T=0$ を代入してみると、 $(10^{\bar{k}T}-1)$, $(1-10^{-\bar{k}bT})$ がともに 0 となり、 w は不連と見てくる。したがつて、 $T=0$ を棄却しなければならぬ。

$\eta=0$ かつ $w < 5$ の場合は、処理オペレーター汚水の便を考慮する必要があり、例えば $w=5$, $\eta=0.005$ を用いてみると、 T として 0.8 よび 10.5 時間がえられるが、通常の汚水の場合、 $w=5$ に対応する生物量ないしは栄養レベルの条件において、かつ $\mu=0.3$ の汚泥運送が行なわれないとすると、 $T=0.8$ 時間という短時間で $\eta=0.005$ の汚泥増殖が可能とは考えられず、 $T=10.5$ 時間にとすると相当の時間が必要と思われる。したがつて、以下では $T=0$ から η が最大になる時間まで η は特殊な汚水についてのみ存在すると考え、一般には η が最大になる以前の時間の関係が成立するとして考察を進めていく。

図-4-1の $\eta-T$ の関係は 与えられた w , μ のもとで、活性汚泥の浄化反応を通常に保つために必要な関係であり、ここで規定された量以上に汚泥を排出すれば、所定の w あるいは μ は維持できない。また、汚泥発生量の多い汚水ほどエアレーション時間は短縮である。

$w=5$ より μ の計算結果を比較から、 w が変化しても η の最大値はほとんど変化しないようであり、さらに、式(4-2)によれば、 w が小さくなるほど η が減少する傾向にある。

つきに、今まで述べた意味についていま少し詳細にみてみると、以上の検討ではひとエアレーションタンクから排出される汚泥状のBOD物質と考えてきた。しかし、余剰汚泥は汚泥状ではなく、処理水中に含まれて排出されても式(3-1)の基本的な平衡式は成立する。したがつて、沈殿分離のよい汚泥ではひどい余剰汚泥が汚泥状で排出されると、沈殿分離が悪ければ、余剰汚泥の一部が処理水中に含まれて処理効率が低下すると考えることはできず、 η まではひどくして沈殿分離効果、処理効率に及ぼす影響を検討である。もちろん、こうして検討は最終的には $\bar{k}b$ に注目して行なわねばならぬが、一応、特性を把握する目的から、沈殿分離が期待できる最高の効率で行なわれた場合のBOD除去率(P)および余剰汚泥がすべて処理水中に含まれた場合の除去率(η)を次のように表わして、計算してみる。

$$P = \frac{\eta_i - \eta_e}{\eta_i} \quad (4-3)$$

$$P_0 = \frac{L_i Q - [L_e(Q-U) + R_i U]}{L_i Q} \quad (4-4)$$

または

$$P_0 = (1+\omega)(1 - 10^{-\bar{k}T}) \quad (4-4')$$

$(\omega=5, \bar{k}=0.3), (\omega=8, \bar{k}=0.3), (\omega=8, \bar{k}=0.1)$ の場合の P と P_0 また P_0 の関係式 (4-3), (4-4), (4-4') から求め、図-4-2 を示す。

図-4-2 によれば、 ω が小、 \bar{k} が大

くなるほど、曲線勾配は小さくなり、 P , P_0 が η の変化に影響されにくくなり、また、その条件で排出可能汚泥量は増加してくる。

一般に ω が大きい、つまり高負荷の処理施設で発生した活性汚泥フルースとなり、汎濁分濃度が低下が予想されるから、エアレーション時間 (T) が短縮され、 ω が増大した場合に本汎濁分濃度が十分に行床やすらぎ復元して除去率 P を期待できなくなる。実際の除去率は P と P_0 の中间をとるようになり、 T が短縮されるほど P_0 に近づいてくるはずである。しかも T が短かく、加えて汚泥返送比 (R) も小さくなると、 η と η' が対象汚水の水復帰性の変化によって除去率が鋭敏に変動しており、このような条件で運転されるモディファイド・エアレーション法では、流入汚水の水復帰性が大きくなる場合、処理成績が不安定になると推測される。

5. 総 括

以上、活性汚泥法の BOD 除去機構について数理的解析を試みたが、ここで構成した数理モデルは、BOD をパラメーターとしているのである。エアレーション時間、汚泥返送比、余剰汚泥排放量といった実施設の操作基本因子がすべて BOD 物質量に関連するところ、これらの基本因子相互の関係づけながら BOD 除去の特性を定量的に取り扱うことができる。また、BOD 除去速度係数についても、BOD 物質を無機化する酸化と汚水から活性汚泥へ移行させると吸着とに分離しており、しがつて処理系内における BOD の変化を従来より厳密に表現できると思われる。

また、本数理モデルに導入される対象汚水の水復帰性はその汚水の BOD 除去特性 (R_i, P_{0i}) および活性汚泥生産率 L_i による汚泥増殖特性であり、これらの特性は図-2-1 に示す実験装置により、比較的容易に求められるので、今後は各種の汚水について実験し、検討していくこと考えられる。

最後に、本研究で明らかになつた活性汚泥の净化特性をまとめ、処理施設の設計につき基本的な考慮を加えてみる。

また、ズーグレアを主体とする処理では R_i/L_i および R_i の達目する必要があり、 R_i/L_i をできみで大きくすることはオガ、エアレーションタンク容量は小さくすぎると、あまり大きくすると生物相が変化し、バルкиングが生じる。表-2-1 に示す実験結果によると、 $R_i/L_i < 30$, $R_i < 4,500 \text{ mg/l}$ で活性汚泥体正常となつては、 R_i/L_i に関しては、モディファイド・エアレーション法等を考えてみ

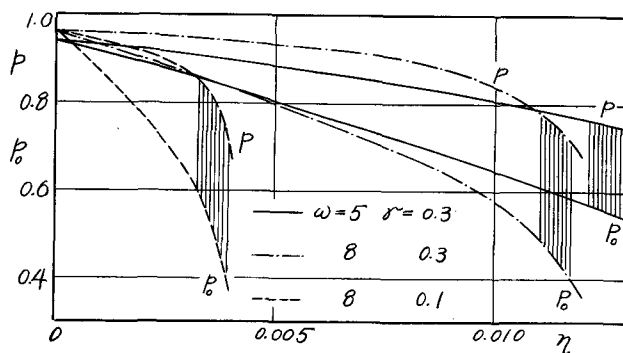


図-4-2 BOD 除去率と排出汚泥量との関係

ると、限界値が30以上になると推測される。これらの数字をそのまま採用した場合、 $L_i=200$ および 500 mg/l の汚水では R_i/L_i の上限がそれぞれ 23, 9 となる。簡単にすため、余剰汚泥量は無視できること仮定すれば、図-3.2-F(1) $L_i=200 \text{ mg/l}$ の場合には汚泥返送比 ($\beta = \dot{V}/Q$) 0.2 のとき $\dot{V}/Q = 20$ 時間 ($T = 17$ 時間)、 $\beta = 0.3$ のときに $\dot{V}/Q = 10$ 時間 ($T = 7.7$ 時間)、また $L_i=500 \text{ mg/l}$ の場合には、 $\beta = 0.3$ で $\dot{V}/Q = 50$ 時間 ($T = 38$ 時間)、 $\beta = 0.6$ で $\dot{V}/Q = 15$ 時間 ($T = 9.4$ 時間)となり、流入汚水 BOD が高くなるほど、汚泥返送比が小さくなるほど大きな容量のエアレーション塔が必要になり、 $\beta = 0.3$ のとき、流入汚水 BOD が 200 mg/l から 500 mg/l へと 2.5 倍に増加すると 5 倍の容量のエアレーション塔を用意しなければならない。したがって BOD の高い汚水を処理する際にも、汚泥返送比を大きくしてやるが、あるいは床締してやり、処理水量が増加しても R_i/L_i を高くするより調整した方が経済的となり、こうした調整法はハイレート法や床処理にみられる。また、BOD 除去率は図-3.3 より、上記の T に対する β を読みれば求まり、 $L_i=200 \text{ mg/l}$, $\beta=0.3$ の場合が最高で約 95%, $L_i=500 \text{ mg/l}$, $\beta=0.3$ の場合が最低で約 78% となり、いずれも汚泥返送比が小さく、エアレーション時間が長いほど低下する。

余剰汚泥量が無視できない場合には、対象汚水の単位量当たりに発生する活性汚泥量が把握できないと具体的な計算は不可能であるが、 w が一定のとき、汚泥発生量の多い汚水ほど BOD 除去率は低下する。これは w が一定なため BOD 除去速度係数が一定となり、BOD 除去率がエアレーション時間のみに支配され、汚泥発生量の多い汚水では正常状態を確立するエアレーション時間が短縮される二つの原因がある。

なお、以上に示した計算結果の図表はいずれも式(2-7), (2-8) を用いたものであるが、これらの式の基礎となる図-3.4 の実測値に不足があり、今後の実験から補足していただきたい。またもし新しい実測値から式(2-7), (2-8) の諸定数が導けてくまよくなれどそれがあれば、図表の修正を行ないたい。

参考文献

- 1) 南部：活性汚泥法における物質平衡、第4回微生物工学研究討論会講演論文集、P.38 (1967.)
- 2) 例え、McCabe, B.J., Eckenfelder, W.W.: BOD Removal and Sludge Growth in Activated Sludge Process, W.P.C.F., Vol. 33, p. 258 (1961)